

## [143] RC ばかりのじん性に及ぼす横補強筋の効果と引張鉄筋比の影響

正会員 矢代秀雄（日本大学生産工学部）

正会員 ○清水庸介（日本大学生産工学部）

中野初子（日本大学大学院）

莊惠文（日本大学大学院）

### 1. まえがき

鉄筋コンクリートばかりの純曲げ区間における曲げ実験では、コンクリートの圧縮破壊により最大耐力  $M_u$ （図-1）に達し、その後、被りコンクリートの剥落と圧縮鉄筋の座屈が起こると顕著な耐力低下が生じ、図-1のIの状態となる。しかし、圧縮鉄筋の座屈長さを短くするために、横補強筋を密に入れていくと、一定の耐力  $M_{uc}$  を保ちながら、II, III, IVのような状態となり、じん性が確保される。なお、複筋比  $\gamma$  が 0.4 になる場合は、 $M_u$  より  $M_{uc}$  は低く、II, III, IVのようになるが、 $\gamma$  が 0.6 になる場合は、 $M_u$  と  $M_{uc}$  の差がみられず、また横補強筋を余り密に入れなくとも、じん性が確保されることが既往の研究で解っている。

本研究は、複筋比  $\gamma$  をおよそ 0.4 と 0.6 として、引張鉄筋比  $p_t$  をそれぞれ 3種類変化させ、それらが  $M_u$ ,  $M_{uc}$  及びじん性に及ぼす影響を比較し、 $M_u$ ,  $M_{uc}$  の計算方法を検討したものである。

### 2. 実験計画

試験体は 18 体計画し、試験体の形状および寸法は、 $b \times D = 30 \text{ cm} \times 40 \text{ cm}$ ,  $dc = dt = 6 \text{ cm}$  とし、純曲げスパンを 140 cm, せん断スパンを 120 cm、全長を 460 cm とした。

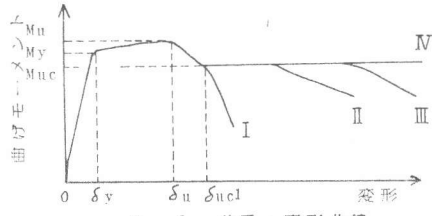


図-1 荷重-変形曲線

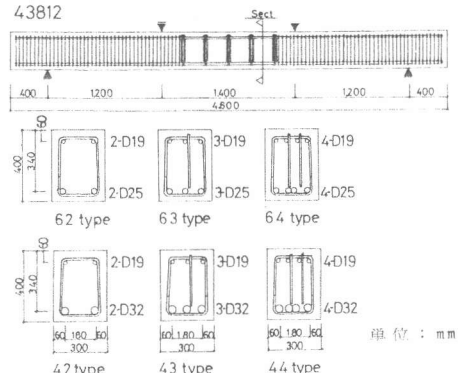


図-2 試験体形状

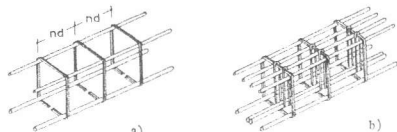


図-3 横補強筋

表-1 試験体詳細一覧

試験体名	主筋								横補強筋								本はし筋 (試験スパン内)			
	上端筋		下端筋		端筋		筋		上端筋		下端筋		端筋		筋		配筋	間隔	降伏抗力密度	
	降伏応力度	断面積	横筋比	降伏応力度	断面積	横筋比	降伏応力度	断面積	横筋比	降伏応力度	断面積	横筋比	降伏応力度	断面積	横筋比	S	$\gamma_p$			
	kg/cm <sup>2</sup>	cm <sup>2</sup>	%	kg/cm <sup>2</sup>	cm <sup>2</sup>	%	kg/cm <sup>2</sup>	cm <sup>2</sup>	%	kg/cm <sup>2</sup>	cm <sup>2</sup>	%	kg/cm <sup>2</sup>	cm <sup>2</sup>	%		cm	kg/cm <sup>2</sup>		
62510	2-D19	3990	5.74	0.56	2-D25	3370	10.14	0.99	0.67	4-D10	20.0	4030								
62512	2-D19	3990	5.74	0.56	2-D25	3350	10.14	0.99	0.68	4-D10	24.0	4030								
62514	2-D19	3990	5.74	0.56	2-D25	3350	10.14	0.99	0.68	4-D10	27.5	4030								
63508	3-D19	3937	8.61	0.84	3-D25	3311	15.21	1.49	0.68	4-D10	16.0	4030								
63510	3-D19	3932	8.61	0.84	3-D25	3311	15.21	1.49	0.68	4-D10	20.0	4030								
63512	3-D19	3899	8.61	0.84	3-D25	3301	15.21	1.49	0.67	4-D10	24.0	4030								
64508	4-D19	3911	11.48	1.13	4-D25	3274	20.28	1.98	0.68	4-D10	16.0	4030								
64510	4-D19	3911	11.48	1.13	4-D25	3279	20.28	1.98	0.68	4-D10	20.0	4030								
64512	4-D19	3911	11.48	1.13	4-D25	3285	20.28	1.98	0.68	4-D10	24.0	4030								
42808	2-D19	3820	5.74	0.56	2-D32	3281	15.88	1.56	0.42	4-D10	16.0	4030								
42810	2-D19	3820	5.74	0.56	2-D32	3275	15.88	1.56	0.42	4-D10	20.0	4030								
42812	2-D19	3820	5.74	0.56	2-D32	3274	15.88	1.56	0.42	4-D10	24.0	4030								
43808	3-D19	3820	8.61	0.84	3-D32	3285	23.82	2.34	0.42	4-D10	16.0	4030								
43810	3-D19	3820	8.61	0.84	3-D32	3281	23.82	2.34	0.42	4-D10	20.0	4030								
43812	3-D19	3820	8.61	0.84	3-D32	3281	23.82	2.34	0.42	4-D10	24.0	4030								
44808	4-D19	3830	11.48	1.13	4-D32	3306	31.76	3.11	0.42	4-D10	16.0	4030								
44810	4-D19	3825	11.48	1.13	4-D32	3299	31.76	3.11	0.42	4-D10	20.0	4030								
44812	4-D19	3825	11.48	1.13	4-D32	3293	31.76	3.11	0.42	4-D10	24.0	4030								

圧縮鉄筋にD19 (SD30) を用いることとし、複筋比  $\gamma$  ( $=a_c/a_t$ ) が0.6になるように、引張鉄筋にD25 (SD30) を使用し、鉄筋の降伏応力度を考慮に入れた複筋比を有効複筋比  $\gamma_e$  ( $=a_c \cdot c \sigma_y / a_t \cdot t \sigma_y$ ) として求める0.68となる試験体の引張鉄筋比  $p_t$  ( $=a_t/bd$ )については、主筋の本数を変化させることにより、2-D25で  $p_t = 0.99\%$ , 3-D25で  $p_t = 1.49\%$ , 4-D25で  $p_t = 1.98\%$  の3種類とした。また横補強筋の間隔は、圧縮鉄筋の公称直径 (d) の倍数として、8d, 10d, 12d, 14dとした。

複筋比  $\gamma$  が0.4となるように、引張鉄筋にD32 (SD30) を使用し、有効複筋比  $\gamma_e$  を求めると0.42となる試験体の引張鉄筋比  $p_t$  については、主筋の本数により、2-D32で  $p_t = 1.56\%$ , 3-D32で  $p_t = 2.34\%$ , 4-D32で  $p_t = 3.11\%$  の3種類とした。また、横補強筋の間隔は、8d, 10d, 12dとした。

なお、純曲げスパン内の横補強筋は、図-3a)に示すようにD10 (SD30) を2本ずつ配筋し、圧縮鉄筋・引張鉄筋が3, 4本の試験体については、図-3b)に示すようにU字形の補強筋を付け加えた。

### 3. 加力方法および測定方法

加力は2点集中正側繰り返し加力とし、繰り返しは加力点における変位により制御し、 $1/100 \text{ rad}$ を基準に、 $2/100 \text{ rad}$ より $7/100 \text{ rad}$ まで、 $1/100 \text{ rad}$ 増加する毎に3回繰り返し、最終的に耐力の低下が認められるまで $1/100 \text{ rad}$ 毎に繰り返し行なった。たわみの測定は、両支点と測定位置(中央および両加力点)間の相対変位を電気式変位計により測定した。また、たわみの他に主筋・横補強筋・コンクリートのひずみ、ひび割れを測定した。

### 4. 実験結果

実験結果一覧を表-2に、荷重変形曲線(包絡線)を図-5, 6, 7, 8に示す。

図-5に示す有効複筋比  $\gamma_e$  が0.68の試験体についてみると、横補強筋の間隔が14dの62514では中央のたわみが、約12mmで部材の降伏がみられ、その後降伏たわみ( $\delta_y$ )の14倍まで耐力の低下はみられず、徐々に上昇している。

また、引張鉄筋比  $p_t$  についてみると、 $p_t = 0.99\%$ ,  $1.49\%$ ,  $1.98\%$ 共に、耐力の低下はみられない。これは、有効複筋比  $\gamma_e$  が比較的大きいため、部材降伏時において圧縮鉄筋のひずみが小さく、コンクリートの圧縮破壊とその拡大を圧縮鉄筋が補っているために、耐力の著しい低下や座屈がみられなかったものと思われる。

次に、図-6に示すように有効複筋比  $\gamma_e$  が0.42で、引張鉄筋比  $p_t$  が1.56%の試験体についてみると、各試験体共に、中央のたわみが約15mmで部材が降伏し、その後およそ $3\delta_y$ まで耐力は徐々に上昇し、コンクリートの圧縮破壊後、9%程度の低下がみられた。これは、コンクリートの圧縮破壊の発生により、圧縮鉄筋のひずみが降伏ひずみに達したためと思われる。その後、横補強筋

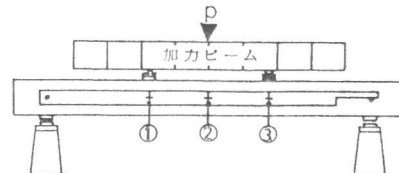


図-4 加力・測定方法

表-2 実験結果一覧

試験体名	圧縮強度 $cG/B$ $\text{kg/cm}^2$	降伏時耐力 $M_y$ $t \cdot m$	最大耐力		低下時耐力 $M_{uc}$ $t \cdot m$
			$P_u$ $\text{ton}$	$M_u$ $t \cdot m$	
42808	263	15.78	26.4	15.84	14.49
42810	280	15.54	26.3	15.78	14.58
42812	279	15.60	26.9	16.14	14.46
43808	296	22.80	38.7	23.22	21.72
43810	290	23.22	39.0	23.40	21.36
43812	302	—	—	—	20.52
44808	296	31.14	52.4	31.44	27.60
44810	305	31.20	52.3	31.38	27.90
44812	285	30.40	51.1	30.66	26.70

※  $M_u$  : 最大耐力  
 $M_{uc}$  : 図-1における  $M_{uc}$   
— : 測定不能

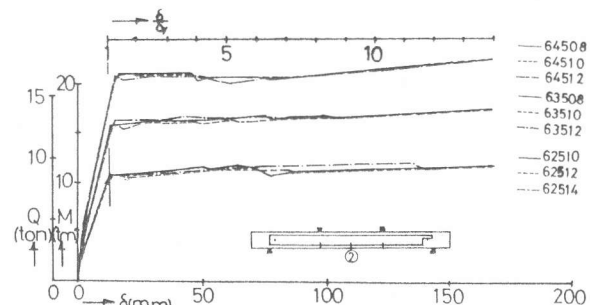


図-5 荷重-変形曲線

間隔が 8 d の 42808 は  $10 \delta_y$  まで、10 d の 42810 は  $7 \delta_y$  まで、12 d の 42812 は  $5 \delta_y$  まで耐力を保持し、圧縮破壊の拡大・圧縮鉄筋の座屈により中立軸は下り、急激な耐力の低下がみられた。

図-7 の引張鉄筋比  $p_t$  が 2.34% の試験体では、各試験体共に中央のたわみが約 17 mm で部材が降伏し、およそ  $2.7 \delta_y$  まで耐力は上昇し、圧縮破壊により 10% 程度の低下がみられ、その後、横補強筋の間隔が 8 d の 43808 は  $9.5 \delta_y$  まで、10 d の 43810 は  $5.5 \delta_y$  まで、12 d の 43812 は  $4.7 \delta_y$  まで耐力を保持し、急激な耐力の低下がみられた。

また図-8 の引張鉄筋比  $p_t$  が 3.11% の試験体では、各試験体共に、中央のたわみが約 20 mm で部材が降伏し、その後、 $1.7 \delta_y$  まで耐力を保持し、圧縮破壊により 12% 程度の低下がみられ、その後、横補強筋の間隔が 8 d の 44808 は  $6.9 \delta_y$  まで、10 d の 44810 は  $4.2 \delta_y$  まで、12 d の 44812 は  $3.6 \delta_y$  まで耐力を保持し、急激な耐力の低下がみられた。

耐力の低下の状態を比較すると、引張鉄筋比  $p_t$  が大きい試験体程、圧縮破壊による耐力の低下が大きくなる傾向がみられた。

これら、じん性に対する引張鉄筋比  $p_t$  の影響、横補強筋間隔の影響を比較するために、 $x$  軸に横補強筋の間隔  $d$ 、 $y$  軸に引張鉄筋比  $p_t$ 、 $z$  軸に耐力の低下時の変位量を降伏時の変位量で除した値をとると、図-9 に示すようになる。横補強筋間隔が広い程、また引張鉄筋比が大きい程じん性は低くなるようである。このように、複筋比、横補強筋間隔に加えて、引張鉄筋比による影響への考慮も必要と思われる。

次に、耐力の維持とはり内の応力状態について、横補強筋間隔が 8 d の 3 試験体において考える。

コンクリートの応力-ひずみ曲線を図-10 に示すように、ひずみが 0.19% でシリンドラー強度  $c\sigma_B$  とし、その後 0.38% で  $0.8 c\sigma_B$ 、0.76% で  $0.4 c\sigma_B$  と仮定する。また、鉄筋の応力-ひずみ曲線を図-11 に示すように、降伏後、ひずみが 1.5% からひずみ硬化が始まり、4% において  $1.3 t\sigma_y$  になるものと仮定する。

以上の仮定に基づいて、圧縮側の被りコンクリートが有効に働くものとして、縁ひずみが 0.38% のときにおいて、圧縮合力  $C$  と引張合力  $T$  の和が零となるようなひずみ分布・応力分布の仮定し、その時の曲げモーメントを

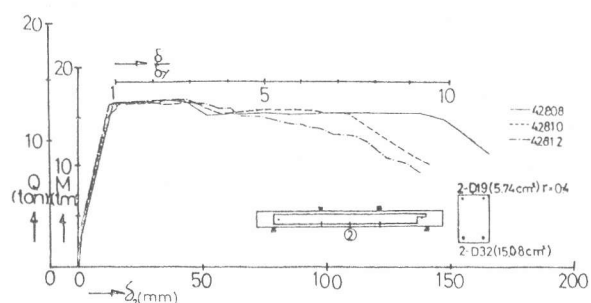


図-6 荷重-変形曲線

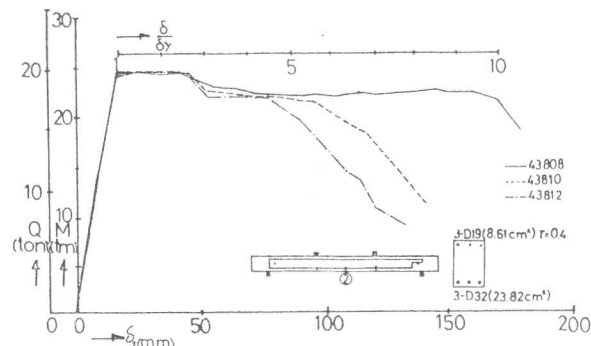


図-7 荷重-変形曲線

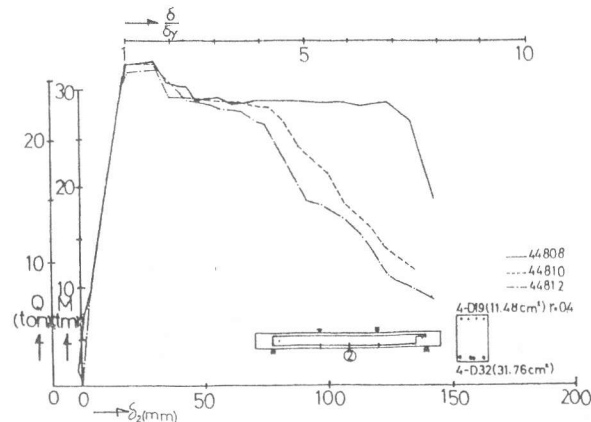


図-8 荷重-変形曲線

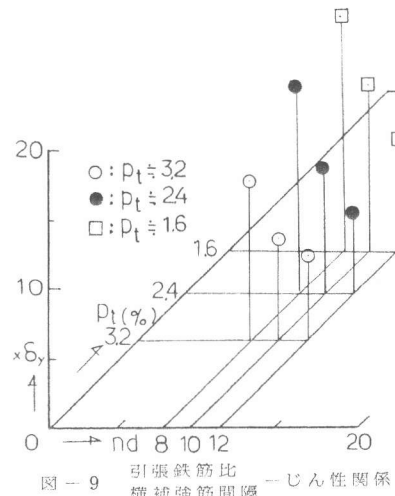


図-9 引張鉄筋比-じん性関係  
横補強筋間隔

求める。同様に、被りコンクリートを除き圧縮鉄筋位置のひずみを縁ひずみと考え、縁ひずみを 0.38%, 0.57%, 0.76% として、曲げモーメントを求めるとき、表-3 に示すようになる。全断面有効の縁ひずみ 0.38% の計算値は、実験値の最大曲げモーメントとほぼ等しい値となり、また、被りコンクリートを除いた計算値は、縁ひずみが変化しても余り変化せずに、耐力を維持しているときの曲げモーメントとほぼ等しい値となった。なお、引張鉄筋比  $p_t$  が大きい場合、 $p_t$  が小さいものに比較して、中立軸位置が低く、小さな変形で縁ひずみが等しくなる。被りコンクリートを除いた場合にも、 $p_t$  が小さいものは、引張鉄筋がひずみ硬化に入るために、計算値は徐々に増加しているが、 $p_t$  が大きいものは中立軸位置が低く、引張鉄筋がひずみ硬化に入らないために計算値は徐々に低下している。

## 5.まとめ

鉄筋コンクリートばかりの純曲げ区間において、横補強筋を密に配筋すると、じん性の向上が得られるが、そのレベルは、有効複筋比  $\gamma_e$ 、引張鉄筋比  $p_t$  によって異なるものと思われる。

引張鉄筋比  $p_t$  について、有効複筋比  $\gamma_e$  が 0.68 では、引張鉄筋比  $p_t$  を約 1% から 2% に増しても、じん性の低下はみられないが、有効複筋比  $\gamma_e$  が 0.42 では、引張鉄筋化  $p_t$  を約 1.5% から 3.1% まで増すにつれ、じん性が低くなる傾向がみられた。

また圧縮破壊後の荷重が低下した後の耐力は、圧縮側の被りコンクリートがないものと仮定し、コンクリートの応力-ひずみ曲線のモデル、鉄筋の応力-ひずみ曲線のモデルを与える、圧縮合力、引張合力のつり合いにより、曲げモーメント  $M_{uc}$  を算出できると思われる。

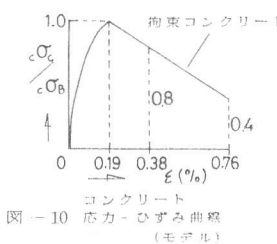


図-10 応力-ひずみ曲線  
(モデル)

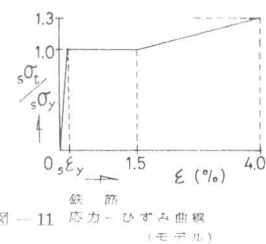


図-11 応力-ひずみ曲線  
(モデル)

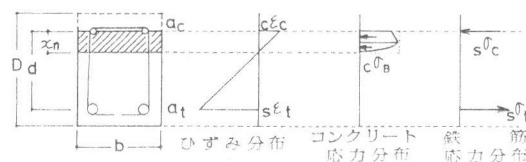
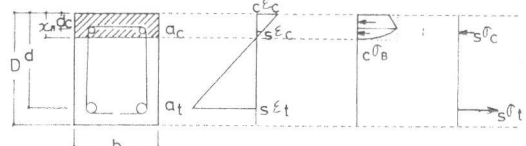


図-12 はり断面の応力とひずみの分布

表-3 実験値と計算値との比較

試験体名	4 2 8 0 8	4 3 8 0 8	4 4 8 0 8
実験値	$\text{ex. } M_u$ (t-m)	15.84	23.22
	$\text{ex. } \delta_u$ (mm)	7.83	8.26
	$\text{ex. } M_{uc}$ (t-m)	14.49	21.72
	$\text{ex. } \delta_{uc}$ (mm)	12.94	11.68
全断面	$M_u$ (t-m)	15.83	23.24
	$\delta_u$ (mm)	12.78	10.93
	$s\epsilon_t$ (%)	1.39	1.14
	$\text{ex. } M_u / M_u$	1.001	0.999
圧縮側	$M_{uc1}$ (t-m)	14.19	20.59
	$\delta_{uc1}$ (mm)	17.99	13.95
	$s\epsilon_t$ (%)	1.67	1.21
	$\text{ex. } M_{uc} / M_{uc1}$	1.021	1.055
被り	$M_{uc2}$ (t-m)	14.78	20.75
	$\delta_{uc2}$ (mm)	23.91	19.64
	$s\epsilon_t$ (%)	2.16	1.67
	$\text{ex. } M_{uc} / M_{uc2}$	0.980	1.047
コンクリート	$M_{uc3}$ (t-m)	14.95	20.83
	$\delta_{uc3}$ (mm)	27.92	23.10
	$s\epsilon_t$ (%)	2.43	1.88
	$\text{ex. } M_{uc} / M_{uc3}$	0.969	1.043
トク	$M_{uc4}$ (t-m)	14.95	20.83
	$\delta_{uc4}$ (mm)	27.92	23.10
	$s\epsilon_t$ (%)	2.43	1.88
	$\text{ex. } M_{uc} / M_{uc4}$	0.969	1.043
無し	$M_{uc5}$ (t-m)	14.95	20.83
	$\delta_{uc5}$ (mm)	27.92	23.10
	$s\epsilon_t$ (%)	2.43	1.88
	$\text{ex. } M_{uc} / M_{uc5}$	0.969	1.043

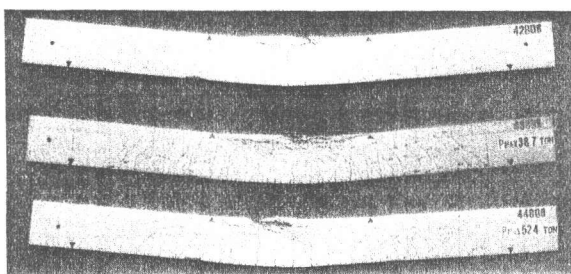
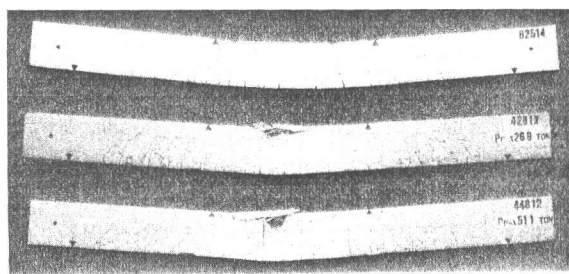


写真-1 破壊状態



参考文献 1) 矢代、清水：曲げを受けるはりの柱筋鉄筋の補強効果に関する実験的研究、第4回コンクリート工学年次講演会講演論文集、1982年6月、pp 349～352。

2) 矢代、清水：鉄筋コンクリートはりのじん性に及ぼす柱筋鉄筋と横補強筋の効果、第5回コンクリート工学年次講演会講演論文集、1983年6月、pp 337～340。

3) 矢代、清水、中野：鉄筋コンクリートはりの強度とじん性に対する横補強筋の効果に関する実験的研究、日本大学学生工学部第16回学術講演会、1983年11月、pp 1～4。